

УДК 539.384.6

НЕЛИНЕЙНЫЙ АНАЛИЗ ОБОЛОЧЕЧНЫХ КОНСТРУКЦИЙ НА ОСНОВЕ ДИНАМИЧЕСКОГО ПОДХОДА

О.А. Русанов

В статье изложен подход на основе метода конечных элементов к решению физически и геометрически нелинейных динамических задач для оценки напряженно-деформированного состояния тонкостенных металлических конструкций. Сравнение результатов решения модельных задач показало, что разработанные алгоритмы обеспечивают достаточную точность и устойчивую сходимость в нелинейном анализе тонких оболочек.

Ключевые слова: тонкостенные конструкции, нелинейное деформирование, метод конечных элементов, динамический анализ.

Введение

Тонкостенные металлические конструкции, используемые во многих отраслях машиностроения, часто имеют относительно низкую жесткость. В этом случае для оценки их статической прочности, устойчивости и предельной несущей способности применения только линейных методов анализа недостаточно. Отклонение от линейных законов в процессах деформирования может происходить под действием даже относительно небольшой нагрузки вследствие существенного изменения формы объекта по сравнению с первоначальной, а также из-за перехода металла в пластическое состояние при изгибе тонких стенок. Сами процессы в оболочке при потере устойчивости и последующем закритическом деформировании нередко имеют выраженный динамический характер (эффект прохлопывания), и тогда они должны изучаться с позиций нелинейной динамики. Современный уровень развития компьютерной техники позволяет получить численное решение многих прикладных задач деформирования тонкостенных металлических конструкций в нелинейной постановке.

В данной работе изложен подход на основе метода конечных элементов (МКЭ) к решению физически и геометрически нелинейных динамических задач для оценки напряженно-деформированного состояния (НДС) конструкций из тонких оболочек.

Математическая постановка задачи нелинейного деформирования

В общем случае НДС нелинейной системы зависит от истории ее нагружения. Весь путь деформирования системы – от начального к конечному ее состоянию – можно представить в виде последовательности достаточно близко расположенных друг к другу равновесных состояний. Движение по данному пути с некоторым шагом позволяет моделировать процессы статического и динамического нагружения. Это движение можно рассматривать как совокупность переходов из одного положения равновесия в другое смежное через приращения характеристик состояния объекта (нагрузки, перемещений, деформаций, напряжений).

В основу разработанной методики анализа в приращениях с учетом физически и геометрически нелинейных свойств динамической системы положен вариационный принцип, использующий модифицированный подход Лагранжа [1].

Оболочка представлена в общем случае как деформируемое твердое тело, находящееся в состоянии равновесия под действием совокупности распределенных объемных и поверхностных нагрузок. На ее недеформированной конфигурации введена декартова система координат, оси x , y , z которой связаны с материальными точками тела.

Рассматривается равновесие системы в некоторой промежуточной точке на пути нагружения под действием накопленных на предыдущих

* Статья подготовлена в рамках реализации ФЦП «Научные и научно-педагогические кадры инновационной России» на 2009 – 2013 годы, проект № 16.740.11.0134

шагах значений объемной b_i и поверхностной p_i нагрузок. Для рассмотрения этого состояния вводится отсчетная конфигурация (соответствующая деформированному телу) с объемом тела V , ограниченного поверхностью S . Для описания положения точек тела в отсчетной конфигурации используются декартовы координаты X, Y, Z , отличающиеся от координат x, y, z тех же точек в недеформированном состоянии на величины перемещений u, v, w соответственно.

Действующим на теле объемной b_i и поверхностной p_i нагрузкам на текущем шаге нагрузжения даются дополнительные приращения Δb_i , Δp_i . Вариационная формулировка, соответствующая модифицированному подходу Лагранжа, выражается следующим уравнением:

$$\int_V [(\sigma_{ij}^E + \Delta \sigma_{ij}^*) \delta (\Delta e_{ij}^*) - (b_i + \Delta b_i) \delta (\Delta u_i)] dV - \int_S (p_i + \Delta p_i) \delta (\Delta u_i) dS = 0, \quad (1)$$

где $\sigma_{ij}^E + \Delta \sigma_{ij}^*$ – модифицированный тензор напряжений Кирхгофа, состоящий из суммы компонент σ_{ij}^E тензора напряжений Эйлера (для отсчетной конфигурации) и компонент $\Delta \sigma_{ij}^*$ модифицированного тензора приращений напряжений Кирхгофа относительно отсчетной конфигурации; Δe_{ij}^* – модифицированный тензор приращений деформаций Коши – Грина (определяются через производные приращений перемещений по координатам X, Y, Z); $(b_i + \Delta b_i), (p_i + \Delta p_i)$ – суммарные объемные и поверхностные нагрузки, достигнутые на шаге нагружения; Δu_i – приращения перемещений на шаге нагружения (варируемые параметры); δ – символ вариации; Δ – символ приращения величины на шаге нагружения.

Объемные и поверхностные нагрузки (b_i, p_i) отнесены к единичным объему и поверхности тела в деформированном состоянии, соответствующем отсчетной конфигурации.

Конечно-элементная формулировка задачи нелинейного деформирования

В формулировке МКЭ для анализа нелинейных систем в приращениях на основе уравнения (1) использована векторная символика. Введен вектор конечных деформаций \mathbf{e} , объединяющий компоненты тензора e_{ij} .

На пути нагружения рассмотрены два соседних состояния равновесия, из которых более раннее описывается векторами узловых

перемещений \mathbf{U}^e , напряжений $\boldsymbol{\sigma}$, деформаций \mathbf{e} , узловых нагрузок \mathbf{R}^e (включает в себя приведенные к узлам поверхностные и объемные нагрузки). Переход в последующее смежное состояние равновесия задается приращениями перечисленных векторов ($\Delta \mathbf{U}^e, \Delta \boldsymbol{\sigma}, \Delta \mathbf{e}, \Delta \mathbf{R}^e$) и изменением конфигурации деформируемого тела.

Постулируется связь между приращениями деформаций и напряжений:

$$\Delta \boldsymbol{\sigma} = \mathbf{D}_{EP} \Delta \mathbf{e}. \quad (2)$$

Разработанные методы расчета предназначены для исследования деталей из широко применяемых в машиностроении конструкционных материалов – сталей и сплавов. Гиперупругие материалы не рассматриваются. Для линейно упругого материала матрица упругости \mathbf{D}_{EP} в соотношениях (2) рассчитывается по известным соотношениям упругости и заданным константам материала – модулю Юнга и коэффициенту Пуассона. Для материала с упругопластическими свойствами матрица \mathbf{D}_{EP} формируется на основе теории пластического течения по методике, описанной в работе [2].

Методика нелинейного конечно-элементного анализа изложена применительно к элементам тонкой пластины с использованием гипотез Кирхгоффа. В недеформированном состоянии срединная плоскость пластины совпадает с плоскостью xOy декартовой системы координат. Ось z является нормалью к пластине. Перемещения в направлении осей x, y, z обозначены как u, v, w соответственно.

Вектор конечных деформаций \mathbf{e} слоя пластины с координатой z можно представить в виде суммы трех составляющих $\mathbf{e}, \mathbf{e}_{NL}, \mathbf{N}$:

$$\mathbf{e} = \mathbf{e} + \mathbf{e}_{NL} + z \mathbf{N}, \quad (3)$$

$$\mathbf{e} = \begin{Bmatrix} e_{xx} \\ e_{yy} \\ 2e_{xy} \end{Bmatrix}, \quad \mathbf{e} = \begin{Bmatrix} \frac{\partial u}{\partial x} \\ \frac{\partial v}{\partial y} \\ \frac{\partial u}{\partial y} + \frac{\partial v}{\partial x} \end{Bmatrix}, \quad \mathbf{N} = \begin{Bmatrix} -\frac{\partial^2 w}{\partial x^2} \\ -\frac{\partial^2 w}{\partial y^2} \\ -2 \frac{\partial^2 w}{\partial x \partial y} \end{Bmatrix},$$

$$\mathbf{e}_{NL} = \begin{Bmatrix} \frac{1}{2} \left[\left(\frac{\partial u}{\partial x} \right)^2 + \left(\frac{\partial v}{\partial x} \right)^2 + \left(\frac{\partial w}{\partial x} \right)^2 \right] \\ \frac{1}{2} \left[\left(\frac{\partial u}{\partial y} \right)^2 + \left(\frac{\partial v}{\partial y} \right)^2 + \left(\frac{\partial w}{\partial y} \right)^2 \right] \\ \frac{\partial u}{\partial x} \frac{\partial u}{\partial y} + \frac{\partial v}{\partial x} \frac{\partial v}{\partial y} + \frac{\partial w}{\partial x} \frac{\partial w}{\partial y} \end{Bmatrix}.$$

Аналогично для отсчетной конфигурации в векторе приращения конечных деформаций $\Delta\epsilon$ выделены составляющие и сгруппированы в отдельные векторы $\Delta\epsilon$, $\Delta\epsilon_{NL}$, $\Delta\aleph$. При этом вместо абсолютных перемещений u , v , w используются их приращения Δu , Δv , Δw , а дифференцирование выполняется по координатам X , Y , Z . Тогда справедливо равенство:

$$\Delta\epsilon = \Delta\epsilon + \Delta\epsilon_{NL} + z \Delta\aleph. \quad (4)$$

С учетом соотношения (2) приращение напряжений можно представить в виде:

$$\Delta\sigma = D_{EP}\Delta\epsilon = D_{EP}\Delta\epsilon + D_{EP}\Delta\epsilon_{NL} + z D_{EP}\Delta\aleph. \quad (5)$$

В вариационном подходе вводятся виртуальные перемещения, под которыми понимаются любые удовлетворяющие граничным условиям перемещения узлов. Перемещения сгруппированы в векторе $\delta(\Delta U^e)$. Виртуальным перемещениям соответствуют деформации в системе:

$$\delta(\Delta\epsilon) = \delta(\Delta\epsilon) + \delta(\Delta_{NL}) + z \delta(\Delta\aleph). \quad (6)$$

Вариационное уравнение модифицированного подхода Лагранжа в приращениях (1) можно переписать для конечного элемента в векторной форме:

$$\int_{V^e} \delta(\Delta\epsilon)(\sigma + \Delta\sigma) dV - \delta(\Delta U^e)^T (R^e + \Delta R^e) = 0. \quad (7)$$

После подстановки уравнений (4), (5), (6) в уравнение (7) и перегруппировки слагаемых последнее может быть переписано в развернутом виде:

$$\begin{aligned} & \int_{V^e} \left\{ [\delta(\Delta\epsilon) + z \delta(\Delta\aleph)]^T D_{EP} [\Delta\epsilon + z \Delta\aleph] + \right. \\ & \left. + \delta(\Delta\epsilon_{NL})^T (\sigma + \Delta\sigma) \right\} dV^e = \delta(\Delta U^e)^T \Delta R^e + \\ & + \delta(\Delta U^e)^T R^e - \int_{V^e} [\delta(\Delta\epsilon) + z \delta(\Delta\aleph)]^T \epsilon \cdot \sigma dV^e - \\ & - \int_{V^e} [\delta(\Delta\epsilon) + z \delta(\Delta\aleph)]^T D_{EP} \Delta\epsilon_{NL} dV^e. \end{aligned} \quad (8)$$

Первое слагаемое в левой части равенства (8)

$$\begin{aligned} & \int_{V^e} [\delta(\Delta\epsilon) + z \delta(\Delta\aleph)]^T D_{EP} [\Delta\epsilon + z \Delta\aleph] dV^e = \\ & = \delta(\Delta U^e)^T \cdot K_T^e \cdot \Delta U^e \end{aligned}$$

отражает геометрически линейные компоненты мембранный и изгибной жесткости элемента и позволяет сформировать матрицу жесткости элемента оболочки, в которой применительно к физически нелинейным задачам учтено взаимное влияние компонент мембранный и изгибной жесткости при несимметричном (относительно срединной поверхности) проявлении текучести в слоях, параллельных срединному слою.

Второе слагаемое в левой части равенства

(8)

$$\int_{V^e} \delta(\Delta\epsilon_{NL})^T \cdot (\sigma + \Delta\sigma) dV^e = \delta(\Delta U^e)^T \cdot K_G^e \cdot \Delta U^e,$$

где K_T^e , K_G^e – матрицы касательной жесткости и геометрической жесткости элемента в конфигурации деформирования, соответствующей предыдущему шагу нагружения (отсчетной конфигурации). Учитывает изменение жесткости системы вследствие предварительного напряжения и является основой для получения матрицы геометрической жесткости.

Слагаемые в правой части равенства

$$\begin{aligned} & \delta(\Delta U^e)^T R^e - \int_{V^e} [\delta(\Delta\epsilon) + z \delta(\Delta\aleph)]^T \cdot \sigma dV^e - \\ & - \int_{V^e} [\delta(\Delta\epsilon) + z \delta(\Delta\aleph)]^T D_{EP} \Delta\epsilon_{NL} dV^e = \delta(\Delta U^e)^T R_N \end{aligned}$$

позволяют рассчитать неуравновешенную на предыдущих шагах нагрузки части внешней нагрузки и по преварительно вычисленным приведенным к узлам силам по изгибным и мембранным степеням свободы элемента от накопленных ранее напряжений, а также нелинейных компонент деформаций.

Объемные и поверхностные интегралы берутся по объему и поверхности деформированного тела в конфигурации, соответствующей равновесному состоянию начала шага нагрузки.

В окончательном виде конечно-элементная формулировка модифицированного подхода Лагранжа в приращениях (1) для элемента записывается следующим образом:

$$\delta(\Delta U^e)^T \cdot [(K_T^e + K_G^e) \cdot \Delta U^e - \Delta R^e - R_N] = 0,$$

где R_N – вектор неуравновешенной части внешней нагрузки для предыдущего шага нагрузления.

После вычисления приращений перемещений, напряжений и деформаций на текущем шаге нагрузки для перехода к следующему шагу нагрузки осуществляется суммирование перемещений, преобразование конфигурации объекта (коррекция координат узлов), а также преобразование суммарных напряжений применительно к новой отсчетной конфигурации.

Приведенные общие соотношения использованы для разработки основных матриц и векторов треугольного плоского конечного элемента тонкой оболочки с тремя узлами и 18-ю степенями свободы применительно к геометрически и физически нелинейному анализу оболочек.

Исследования неустановившихся колебаний оболочечных конструкций во времени

Равновесие в момент времени $t + \Delta t$ динамической системы МКЭ (ансамбля конечных элементов) с учетом инерционных и диссипативных сил (пропорциональных ускорениям и скоростям движения точек соответственно), нелинейных свойств (пластичность материалов, конечные перемещения и деформации) описывается матричным уравнением в приращениях:

$$\mathbf{M} \ddot{\mathbf{U}}_{t+\Delta t} + \mathbf{C} \dot{\mathbf{U}}_{t+\Delta t} + (\mathbf{K}_T + \mathbf{K}_G) \cdot \Delta \mathbf{U}_{t+\Delta t} = \Delta \mathbf{R}_{t+\Delta t} + \mathbf{R}_{Nt}, \quad (9)$$

где \mathbf{M} , \mathbf{C} – глобальные матрицы масс и демпфирования системы МКЭ; $\dot{\mathbf{U}}_{t+\Delta t}$, $\ddot{\mathbf{U}}_{t+\Delta t}$ – векторы скоростей и ускорений узлов модели; $\Delta \mathbf{U}_{t+\Delta t}$ – вектор приращения перемещений ($\Delta \mathbf{U}_{t+\Delta t} = \mathbf{U}_{t+\Delta t} - \mathbf{U}_t$) на шаге по времени от t к $t + \Delta t$; $\Delta \mathbf{R}_{t+\Delta t}$ – вектор приращения внешней нагрузки ($\Delta \mathbf{R}_{t+\Delta t} = \mathbf{R}_{t+\Delta t} - \mathbf{R}_t$).

В нелинейном анализе матрица жесткости содержит в качестве составляющих вычисленные в отсчетной конфигурации касательную матрицу жесткости конструкции \mathbf{K}_T и матрицу геометрической жесткости \mathbf{K}_G , рассчитанную по напряжениям, накопленным на предыдущих шагах нагружения. Вектор неуравновешенных сил \mathbf{R}_{Nt} представляет неуравновешенную внутренними усилиями часть внешней нагрузки в момент времени t .

Для интегрирования уравнения (9) по времени выбран метод Хоуболта (*Houbolt*) [3], реализующий прямую неявную схему интегрирования, рассматривающую равновесие модели в момент времени $t + \Delta t$, для которого состояние пока неизвестно, в предположении, что в более ранние моменты времени это состояние полностью определено. В данном методе используется приведение системы дифференциальных уравнений (9) к системе алгебраических уравнений с помощью разностного представления производных по времени (скоростей $\dot{\mathbf{U}}_{t+\Delta t}$ и ускорений $\ddot{\mathbf{U}}_{t+\Delta t}$), выраженного через приращения перемещений $\Delta \mathbf{U}_{t+\Delta t}$ и перемещения \mathbf{U}_t , $\mathbf{U}_{t-\Delta t}$, $\mathbf{U}_{t-2\Delta t}$ на предыдущих временных шагах по следующей схеме:

$$\begin{aligned} \dot{\mathbf{U}}_{t+\Delta t} &= \frac{1}{6\Delta t} (11 \Delta \mathbf{U}_{t+\Delta t} - 7\mathbf{U}_t + 9\mathbf{U}_{t-\Delta t} - 2\mathbf{U}_{t-2\Delta t}); \\ \ddot{\mathbf{U}}_{t+\Delta t} &= \frac{1}{\Delta t^2} (2 \Delta \mathbf{U}_{t+\Delta t} - 3\mathbf{U}_t + 4\mathbf{U}_{t-\Delta t} - \mathbf{U}_{t-2\Delta t}). \end{aligned} \quad (10)$$

В результате для определения приращений перемещений $\Delta \mathbf{U}_{t+\Delta t}$ на шаге интегрирования

$t + \Delta t$ получается система алгебраических уравнений:

$$\begin{aligned} \tilde{\mathbf{K}} \cdot \Delta \mathbf{U}_{t+\Delta t} &= \Delta \tilde{\mathbf{R}}_{t+\Delta t}, \\ \tilde{\mathbf{K}} &= \frac{2}{\Delta t^2} \mathbf{M} + \frac{11}{6\Delta t} \mathbf{C} + \mathbf{K}_T + \mathbf{K}_G, \\ \Delta \tilde{\mathbf{R}}_{t+\Delta t} &= \Delta \mathbf{R}_{t+\Delta t} + \mathbf{R}_{Nt} - \\ &- \frac{1}{\Delta t^2} \mathbf{M} (-3\mathbf{U}_t + 4\mathbf{U}_{t-\Delta t} - \mathbf{U}_{t-2\Delta t}) - \\ &- \frac{1}{6\Delta t} \mathbf{C} (-7\mathbf{U}_t + 9\mathbf{U}_{t-\Delta t} - 2\mathbf{U}_{t-2\Delta t}), \end{aligned} \quad (11)$$

где $\tilde{\mathbf{K}}$, $\Delta \tilde{\mathbf{R}}_{t+\Delta t}$ – соответственно эффективная матрица касательной жесткости и эффективный вектор приращения нагрузки на шаге интегрирования по времени $t + \Delta t$.

Система (11) решалась методом LDL^T разложения для последовательных моментов времени, в результате чего определяли временные зависимости параметров динамического состояния объекта. На каждом шаге по времени нелинейные перемещения уточнялись методом Ньютона. Изложенная методика реализована в виде программных модулей в комплексе программ методов конечных и граничных элементов [4] и прошла проверку при решении тестовых задач.

Тестовые расчеты тонкостенных оболочных конструкций

Цилиндрическая панель под действием сосредоточенной силы. Рассмотрена задача деформирования цилиндрической панели, нагруженной в центре сосредоточенной силой, меняющейся во времени [5]. По прямым торцам панель имеет шарнирные закрепления, криволинейные торцы свободны. Деформирование панели при росте нагрузки сопровождается эффектом прохлопывания. Решение получено в геометрически нелинейной постановке. Материал панели – линейно упругий с модулем упругости $E = 3102,75$ МПа, коэффициентом Пуассона $\mu = 0,3$.

Панель имеет следующие размеры (рис. 1): $R = 2540$ мм, $h = 12,7$ мм, $l = 508$ мм, $\theta = 0,1$ рад, $a = R \sin \theta = 253,6$ мм.

Принимая во внимание пологую симметричную форму панели и способ ее нагружения, сделали допущение о возможности учета в расчетной схеме только $\frac{1}{4}$ части панели. Конечно-элементная сетка $\frac{1}{4}$ части панели содержит 400 элементов. Значение сосредоточенной силы, приходящейся на $\frac{1}{4}$ часть

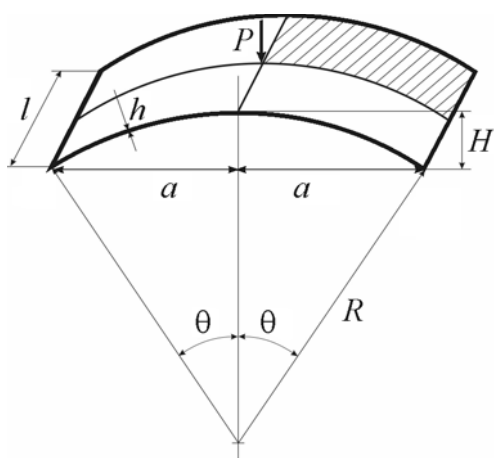


Рис. 1. Схема цилиндрической панели

панели, принято линейно возрастающим от 0 до $P_{\max} = 3$ кН на интервале времени от 0 до 0,2 с. Выполнен нелинейный анализ деформирования при статическом нагружении с различными шагами приращения нагрузки, а также при динамическом нагружении при прохлопывании панели с различными шагами интегрирования по времени.

Предварительно определена наименьшая частота собственных колебаний недеформированной панели 97,4 Гц, позволившая выбрать в качестве ориентира для шага интегрирования значение $\Delta t = 2 \cdot 10^{-4}$ с, соответствующее приблизительно 50 шагам на период. При этом учтено, что после прощелкивания панели ее собственные частоты должны возрастать вследствие увеличения жесткости системы за счет внутренних напряжений.

На рис. 2 приведены графики изменения вертикального перемещения в центре пластины (точки приложения силы) в зависимости от времени. Расчеты при статическом пошаговом нагружении выполнены с приращением нагрузки, соответствующим временным шагам 0,01 и $2 \cdot 10^{-4}$ с. Расчеты динамических процессов методом Хоуболта выполнены со значениями шага по времени $1 \cdot 10^{-4}$ с и $5 \cdot 10^{-5}$ с. Представленные результаты хорошо коррелируют между собой.

После прощелкивания колебательный процесс вокруг линии статического равновесия происходит с постепенным увеличением частоты колебаний, что объясняется увеличением жесткости в системе с ростом нагрузки. Рост жесткости в зависимости от величины прогибов также является причиной неодинаковых раз-

махов динамических процессов в положительную и отрицательную сторону относительно статически равновесного состояния. Причиной возникновения колебаний и наличия в системе кинетической энергии является высвобождение энергии деформирования при прощелкивании панели – скачкообразном переходе ее к новой точке равновесия на линии равновесных конфигураций.

В выполненном нелинейном анализе методом Хоуболта показал высокую устойчивость, о чем свидетельствует практически полное совпадение графиков процессов, полученных с разными шагами интегрирования.

На рис. 2 представлено сравнение решений с помощью разработанных нелинейных алгоритмов и решения [5] этой же задачи на основе анализа равновесных конфигураций (кривая 5), не учитывающего динамических факторов. Анализ равновесных конфигураций весьма интересен в теоретическом аспекте. На практике прощелкивание тонкостенной конструкции является выраженным динамическим процессом, исследование которого требует применения динамического подхода. Результаты, полученные с помощью разработанных алгоритмов, согласуются с результатами работы [5] и в дополнение к ним позволяют изучать эффекты нелинейного деформирования тонкостенных конструкций с иных позиций.

Сферический купол под действием сосредоточенной силы. Рассмотрена задача деформирования жестко заделанного по контуру сферического купола сосредоточенной в его вершине силой переменной величины [6]. Задача решается в геометрически нелинейной постановке. Материал линейно упругий со следующими характеристиками: $E = 68\,947,6$ МПа, $\mu = 0,3$. Купол имеет следующие геометрические параметры (рис. 3):

$$R = 120,9 \text{ мм}, h = 0,4 \text{ мм}, \theta = 0,19 \text{ рад},$$

$$H = R(1 - \cos \theta) = 2,181 \text{ мм},$$

$$a = R \sin \theta = 22,86 \text{ мм}.$$

По условиям симметрии принято допущение о возможности учета в расчетной схеме $\frac{1}{4}$ части оболочки, которая смоделирована конечно-элементной сеткой из 536 элементов. Сосредоточенная сила, действующая на $\frac{1}{4}$ часть купола, линейно возрастает от 0 до $P_{\max} = 100,08$ Н на интервале времени от 0 до 0,01 с. Выполнен анализ статического нагружения, а также

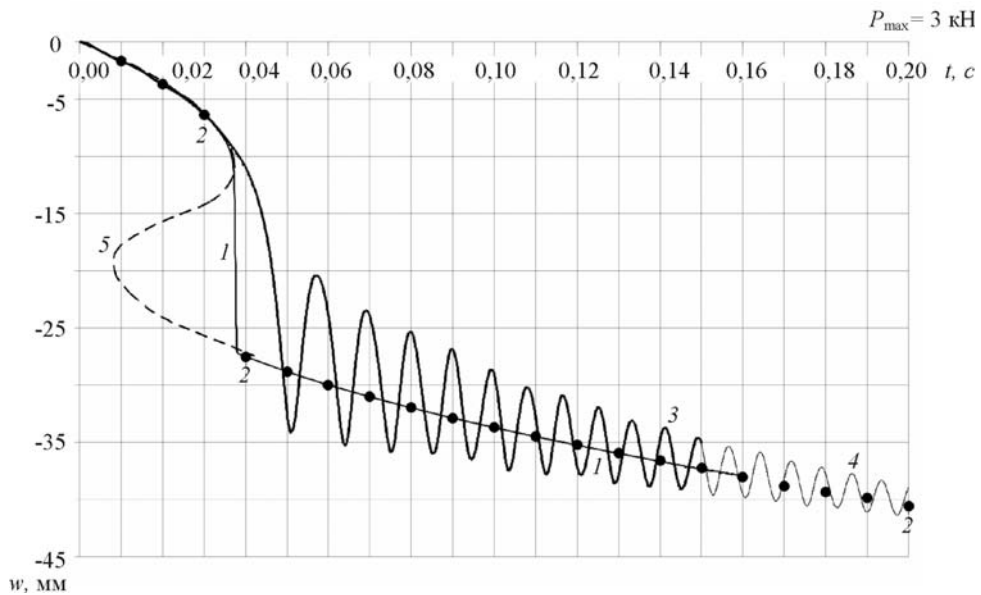


Рис. 2. Зависимость прогиба w в центре пластины от времени:
1 – статический анализ, $\Delta t = 2 \cdot 10^{-4}$ с; 2 – статический анализ, $\Delta t = 0,01$ с;
3 – динамический анализ, $\Delta t = 1 \cdot 10^{-4}$ с; 4 – динамический анализ, $\Delta t = 5 \cdot 10^{-5}$ с;
5 – результаты расчетов работы [5]

исследованы во времени (методом Хоуболта) динамические процессы при деформировании купола.

Как и в предыдущем примере, выбор шага интегрирования осуществлен на основе предварительного анализа собственных колебаний купола. Наименьшая частота его собственных колебаний составила 8699 Гц.

Дополнительно в линеаризованной постановке выполнен расчет на устойчивость (в рамках решения задачи на собственные значения) и определена критическая нагрузка $P_{kp} = 53,58$ Н. Этому значению соответствует момент времени 0,005358 с, который может рассматриваться при анализе динамических процессов как приближенный ориентир для начала существенных изменений в системе.

На рис. 4 приведены графики зависимостей вертикального перемещения w в центре купола (в точке приложения силы) от времени. Нелинейные расчеты выполнены при статическом пошаговом нагружении с приращением нагрузки, соответствующим временному шагу 10^{-5} с. Такой же шаг интегрирования принят для исследования динамических процессов.

Разработанный алгоритм статического нелинейного анализа продемонстрировал сходимость в интервале времени от 0 до 0,0055 с, далее расходжение. Динамический анализ методом Хоуболта показал хорошую сходимость во всем рассматриваемом временном интервале.

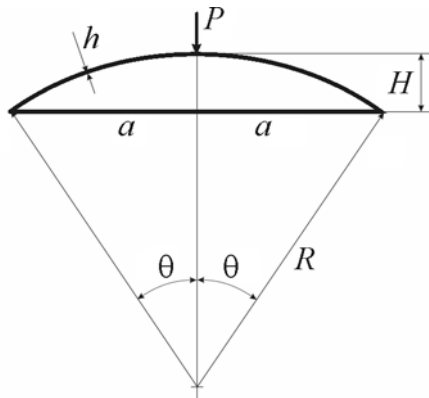


Рис. 3. Схема сферического купола

Расчетные результаты работы [6] хорошо согласуются с результатами выполненного численного анализа (см. рис. 4). Разработанные алгоритмы в целом обеспечивают достаточную точность и устойчивую сходимость при нелинейном анализе оболочечных конструкций и могут быть использованы для решения более сложных и практически значимых задач.

Полусферический сосуд давления с радиальным патрубком. Результаты экспериментального исследования НДС данного соединения под действием внутреннего давления приведены в работе [7]. Размеры испытанной модели показаны на рис. 5, а. Материал оболочек имеет следующие характеристики: $E=200,8$ ГПа, $\mu=0,3$, предел текучести материала $\sigma_t=279,5$ МПа.

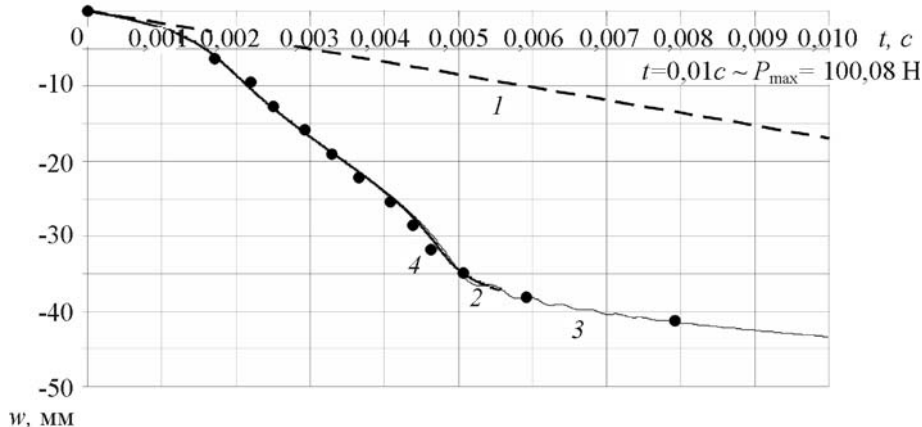


Рис. 4. Зависимости прогиба в центре купола от времени:
1 – линейный статический анализ; 2 – нелинейный статический анализ;
3 – нелинейный динамический анализ; 4 – результаты работы [6]

Рассматриваемая задача является осесимметричной. По принятому допущению в расчетной модели отражена только четверть сосуда. В расчетах учтены физически и геометрически нелинейные особенности деформирования системы. Упругопластические свойства материала смоделированы на основе теории пластического течения. Диаграмма деформирования материала соответствует идеальному упруго-пластическому материалу.

Оболочка имеет закрепления, отвечающие условиям симметрии. Дополнительно запрещены вертикальные перемещения по нижнему контуру полусферы.

Конечно-элементная модель содержит 9693 треугольных конечных элемента, которые расположены в срединной поверхности оболочки. Повышение жесткости в зоне сварного узла (вследствие увеличения общей толщины оболочки за счет наплавленного металла сварного шва) отражено в модели изломом в меридиональном направлении образующей срединной поверхности, в которой находятся элементы, и увеличением толщины элементов, близко расположенных к шву.

Внутреннее давление, как фактор нагружения, линейно возрастает от 0 до $P_{\max} = 10$ МПа (с шагом 0,1 МПа) в интервале времени от 0 до 1 с. Проанализировано статическое нагружение оболочки.

Зависимости вертикальных перемещений w в зоне сварного узла (в точке A, см. рис. 5) от времени представлены на рис. 6. Кривая 1 соответствует линейному решению МКЭ, кривая 2 – физически и геометрически нелинейному

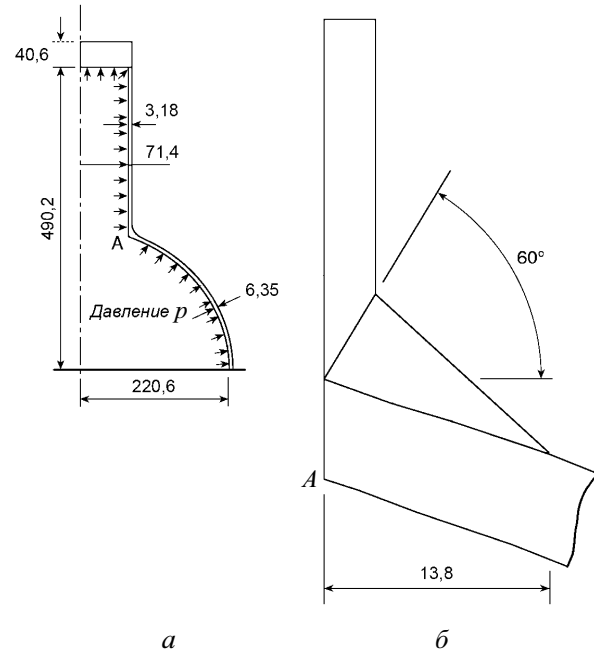


Рис. 5. Схема полусферического сосуда давления с радиальным патрубком:
а – размеры соединения;
б – геометрия сварного шва

решению МКЭ по разработанной методике, кривая 3 (обозначенная кружками) – экспериментальным данным, приведенным в работе (нелинейного анализа) [7]. Наблюдается хорошее соответствие расчетных и экспериментальных результатов.

Заключение

В статье изложен динамический подход на основе метода конечных элементов к решению физически и геометрически нелинейных

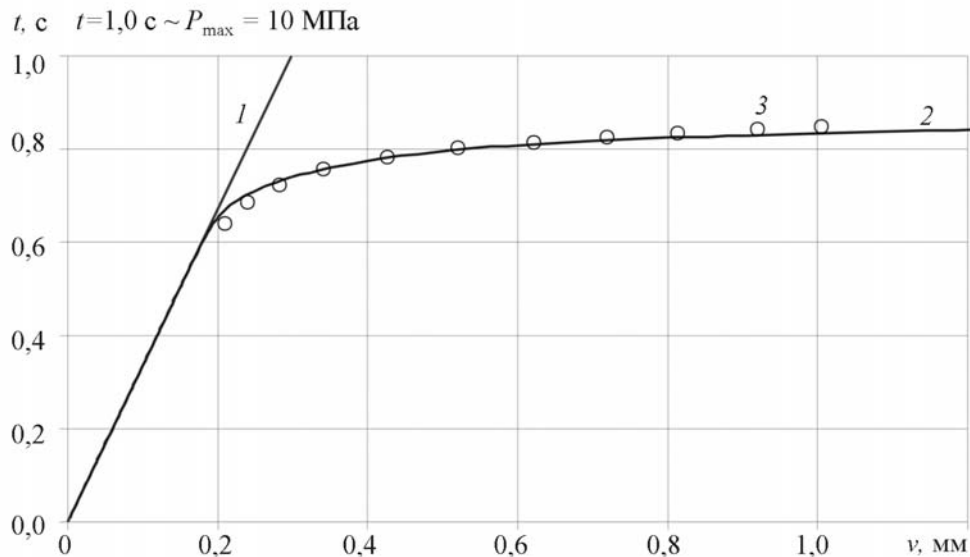


Рис. 6. Зависимость вертикального перемещения v в точки А сосуда от давления:
1 – линейный расчет; 2 – нелинейный расчет; 3 – данные испытаний [7]

динамических задач для оценки напряженно-деформированного состояния тонкостенных металлических конструкций. Разработанные алгоритмы реализованы в виде вычислительных программ и прошли проверку при решении модельных задач. Сравнение результатов показало, что эти алгоритмы обеспечивают достаточную точность и устойчивую сходимость в нелинейном анализе тонких оболочек и могут быть применены на практике в исследованиях конструкций машин и оборудования.

Список литературы

1. Васидзу К. Вариационные методы в теории упругости и пластичности. – М.: Мир, 1987. – 542 с.
2. Зенкевич О. Метод конечных элементов в технике. – М.: Мир, 1975. – 543 с.
3. Бате К., Вилсон Е. Численные методы анализа и метод конечных элементов. – Л.: Стройиздат, 1982. – 448 с.
4. Дмитриченко С.С., Русанов О.А. Опыт расчетов на прочность, проектирования и доводки сварных металлоконструкций мобильных машин // Тракторы и сельскохозяйственные машины. 2006. № 1. С. 8–13.
5. Yang T. Y., Saigal S. A curved quadrilateral element for static analysis of shells with geometric and material nonlinearities // International Journal for Numerical Methods in Engineering. 1985. Vol. 21. No. 4. P. 617–635.
6. Pica A., Wood R. D. Postbuckling behaviour of plates and shells using a Mindlin shallow shell formulation // Computers & Structures. 1980. Vol. 12. No. 5. P. 759–768.
7. Dinn K. S., Gill S. S. An experimental investigation into the plastic behaviour of flush nozzles in spherical pressure vessels // International Journal of Mechanical Sciences. 1965. Vol. 7. No. 12. P. 817–820.

Материал поступил в редакцию 16.05.2011

**РУСАНОВ
Олег
Александрович**
E-mail:
newmalina@rambler.ru
Тел.: +7 (495) 620-39-89

Доктор технических наук, ведущий научный сотрудник НИО, доцент кафедры сопротивления материалов ФГБОУ ВПО «МГИУ». Область научных интересов – численные методы статического и динамического анализа машиностроительных конструкций, расчеты на прочность несущих систем машин. Автор более 60 научных работ.